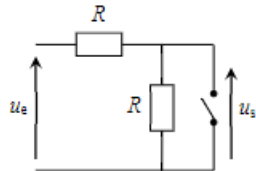


Exercices : Filtrage linéaire

1) Filtre RC aux bornes d'un condensateur réel

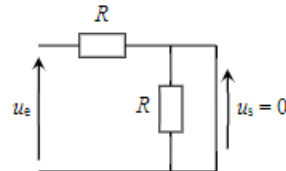
1. En basse fréquence ($\omega \rightarrow 0$) le condensateur se comporte comme un interrupteur ouvert, d'où :



Pont diviseur de tension : $u_s = \frac{R_0}{R_0 + R} u_e$.

Le signal de sortie est négligeable pour les hautes fréquences, important pour les basses fréquences : il s'agit d'un filtre passe-bas.

En haute fréquence ($\omega \rightarrow \infty$) le condensateur se comporte comme un fil, d'où :



La tension u_s est la tension aux bornes d'un fil, elle est donc nulle.

⇒ Méthode 7.1

2. On considère l'association parallèle RC comme un dipôle d'impédance Z_{eq} (dont l'admittance Y_{eq} est obtenue immédiatement). Diviseur de tension : $\underline{H} = \frac{Z_{\text{eq}}}{R + Z_{\text{eq}}} = \frac{1}{RY_{\text{eq}} + 1}$,

avec $Y_{\text{eq}} = jC\omega + \frac{1}{R}$, soit $\underline{H} = \frac{1}{jRC\omega + 2}$. En posant $x = RC\omega$ on obtient $\underline{H} = \frac{1}{2 + jx}$.

↗ On peut mettre la fonction de transfert sous forme canonique avec une partie réelle unitaire pour le dénominateur soit $\underline{H} = \frac{1/2}{1 + jx/2}$.

⇒ Méthodes 7.2, 7.3

3. Le gain de la fonction de transfert s'écrit $G = \frac{1}{\sqrt{4 + x^2}}$, il est alors évident que $G_{\text{max}} = \frac{1}{2}$, qui correspond à la valeur $|H_0|$ si on avait fait une identification avec la forme canonique.

Par définition, $G(x_c) = \frac{G_{\text{max}}}{\sqrt{2}} = \frac{1}{2\sqrt{2}} = \frac{1}{\sqrt{1+x_c^2/4}}$, donc $4 + x_c^2 = 8$ soit $x_c = 2$. On obtient la

pulsation de coupure $\omega_c = \frac{2}{RC}$.

• De façon inhabituelle, cet énoncé définit une pulsation réduite x qui n'est pas égale à ω/ω_c , on trouve donc une valeur de x_c différente de 1.

4. – Pour $x \ll 1$, la fonction de transfert devient $\underline{H}(x) \approx \frac{1}{2}$.

Alors $G_{\text{dB}} = 20\log(1/2) = -6 \text{ dB}$, d'où une asymptote horizontale à -6 dB en basse fréquence sur la courbe de gain. Et $\phi = \arg(1/2) = 0$, d'où l'asymptote pour la phase en BF.

– Pour $x \gg 1$, $\underline{H}(x) \approx \frac{1}{jx} = -\frac{j}{x}$.

Alors $G_{\text{dB}} = 20\log(|H|) = -20\log x$: le facteur -20 devant $\log x$ indique une pente de l'asymptote de -20 dB/décade. Et $\phi = -\frac{\pi}{2}$ qui représente l'asymptote de la phase en HF.

On détermine la fréquence de coupure par intersection des asymptotes : on lit $f_c = 300 \text{ Hz}$. Or

$\omega_c = 2\pi f_c = \frac{2}{RC}$ donc $RC = \frac{1}{\pi f_c}$. AN $RC = 1 \text{ ms}$.

↗ On peut aussi déterminer la fréquence de coupure en cherchant la fréquence pour laquelle le gain est inférieur de 3 décibels à sa valeur maximale (abscisse -9 environ), ou encore celle où la phase vaut -45° .

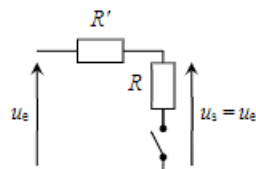
⇒ Méthode 7.5

5. À haute fréquence, $\underline{H}(x) \approx \frac{1}{jx}$. On reconnaît l'opérateur intégration, caractérisé sur un diagramme de Bode par une pente de -20 dB/décade (division par ω) et un déphasage qui tend vers -90° (division par j).

6. Pour 900 Hz, on lit $G_{\text{dB}} = -16 \text{ dB} = 20\log G$. On en déduit $G = 10^{-16/20} = 0,16 = \frac{U_{\text{im}}}{U_{\text{em}}}$. Donc $U_{\text{im}} = G \cdot U_{\text{em}} = 0,16 \cdot 10$ soit $U_{\text{im}} = 1,6 \text{ V}$.

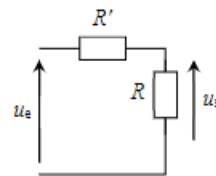
2) Filtre à retard de phase

1. En basse fréquence ($\omega \rightarrow 0$) le condensateur se comporte comme un interrupteur ouvert, d'où :



En effet $u_e - R'i - u_s = 0$ avec $i = 0$ (interrupteur ouvert) donc $u_s = u_e$.

En haute fréquence ($\omega \rightarrow \infty$) le condensateur se comporte comme un fil, d'où :



D'après la formule du pont diviseur on obtient $u_s = \frac{R}{R+R'}u_e$.

Ce filtre laisse passer les hautes et basses fréquences, mais avec des coefficients différents : on ne peut pas vraiment conclure à partir de cette étude préliminaire.

\Rightarrow Méthode 7.1

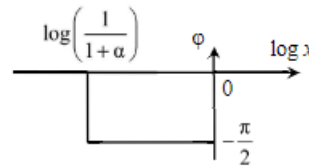
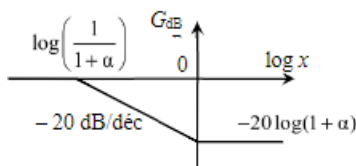
2. On utilise la formule du diviseur de tension, soit $\underline{H} = \frac{R + \frac{1}{jC\omega}}{R' + R + \frac{1}{jC\omega}}$. On multiplie alors numérateur et dénominateur par $jC\omega$ pour avoir des parties réelles unitaires et des puissances croissantes de ω : $\underline{H} = \frac{1 + jRC\omega}{1 + j(R + R')C\omega} = \frac{1 + jx}{1 + j(1 + \alpha)x}$.

\Rightarrow Méthode 7.2

3. Pour $x \ll \frac{1}{1+\alpha}$: $\underline{H}(x) \approx 1$ soit $G_{dB} = 0$, $\varphi = 0$. Pour $\frac{1}{1+\alpha} \ll x \ll 1$ (si ce domaine existe) :

$\underline{H}(x) \approx \frac{1}{j(1+\alpha)x}$ soit $G_{dB} = -20\log(1+\alpha) - 20\log x$, $\varphi = -\frac{\pi}{2}$.

Pour $x \gg 1$: $\underline{H}(x) \approx \frac{1}{1+\alpha}$ soit $G_{dB} = -20\log(1+\alpha)$, $\varphi = 0$.



4. D'après le diagramme asymptotique de la phase, on voit immédiatement que l'argument de la fonction de transfert est toujours négatif, soit $\varphi = \arg(u_s) - \arg(u_e) < 0$: la sortie est en retard sur l'entrée, d'où le nom filtre à retard de phase.

5. On cherche le déphasage minimal, donc le minimum de la fonction $\arg(\underline{H})$ qui doit correspondre à son seul extremum d'après le diagramme asymptotique de la phase.

$\varphi = \arctan x - \arctan((1+\alpha)x)$ donc l'extremum correspond à $\frac{d\varphi}{dx} = \frac{1}{1+x^2} - \frac{1+\alpha}{1+((1+\alpha)x)^2} = 0$,

soit $\frac{1}{1+x^2} = \frac{1+\alpha}{1+((1+\alpha)x)^2} \Leftrightarrow 1 - (1+\alpha) = (1 - (1+\alpha))(1+\alpha)x^2 \Leftrightarrow \alpha = \alpha(1+\alpha)x^2$.

Les solutions sont $x = \frac{1}{\sqrt{1+\alpha}}$ pour $\alpha \neq 0$ ou toutes les valeurs de x si $\alpha = 0$, mais dans ces conditions, la fonction de transfert est toujours unitaire, et le filtre ne sert absolument à rien !

– Pour $x = \frac{1}{\sqrt{1+\alpha}}$ avec $\alpha \neq 0$, la phase minimale vaut $\varphi = \arctan \frac{1}{\sqrt{1+\alpha}} - \arctan \sqrt{1+\alpha}$ soit

$\varphi = \frac{\pi}{2} - 2\arctan \sqrt{1+\alpha}$ et le gain vaut alors $G_0 = \frac{\sqrt{1+\frac{1}{1+\alpha}}}{\sqrt{1 + \left((1+\alpha) \frac{1}{\sqrt{1+\alpha}} \right)^2}}$ soit $G_0 = \sqrt{\frac{1}{1+\alpha}}$.

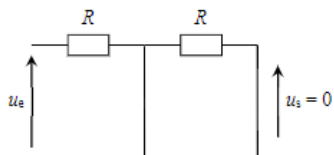
– Si $\alpha = 0$, le gain vaut $G_0 = 1$, quel que soit x car il n'y a plus de résistance R' .

3) Filtre ADSL

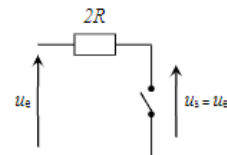
1. On isole les signaux téléphoniques (basses fréquences) avec un filtre passe-bas, et les signaux informatiques avec un filtre passe-haut.

La fréquence de coupure doit être nettement plus grande que les fréquences téléphoniques et nettement plus faible que les fréquences informatiques : le meilleur choix est $f_0 = 10 \text{ kHz}$.

2. En basse fréquence ($\omega \rightarrow 0$), les bobines se comportent comme des fils, d'où :



En haute fréquence ($\omega \rightarrow \infty$), les bobines se comportent comme des coupe-circuits, d'où :



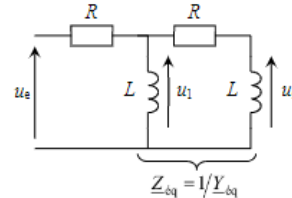
Le signal de sortie est de l'ordre de grandeur du signal d'entrée pour les hautes fréquences, et négligeable pour les basses fréquences : c'est un filtre passe-haut. Il permettra d'obtenir les signaux informatiques.

⇒ Méthode 7.1

3. On considère deux ponts diviseurs successifs.

Soit $\underline{Y}_{\text{eq}} = \frac{1}{jL\omega} + \frac{1}{R+jL\omega}$ l'admittance de l'ensemble L en parallèle avec RL (ayant la tension u_1 à ses bornes). Un premier pont diviseur donne :

$$\underline{U}_1 = \frac{\underline{Z}_{\text{eq}}}{\underline{Z}_{\text{eq}} + R} \underline{U}_e = \frac{1}{1 + R\underline{Y}_{\text{eq}}} \underline{U}_e.$$



● La résistance et l'inductance de gauche ne sont pas en série, et ne constituent pas à elles seules un diviseur de tension. En revanche la résistance et l'inductance de droite, elles, sont bien en série.

Un second diviseur de tension donne : $\underline{U}_s = \frac{jL\omega}{R+jL\omega} \underline{U}_1$, soit $\underline{U}_s = \frac{jL\omega}{R+jL\omega} \cdot \frac{1}{1 + R\underline{Y}_{\text{eq}}} \underline{U}_e$.

On obtient en développant : $\underline{U}_s = \frac{jL\omega}{R + jL\omega + R \left(\frac{R + jL\omega}{jL\omega} + 1 \right)} \underline{U}_e = \frac{-(L\omega)^2}{R^2 + j3RL\omega - (L\omega)^2} \underline{U}_e$.

On divise par R^2 pour avoir une partie réelle unitaire et des puissances croissantes de ω au

$$\text{dénominateur : } \underline{H} = \frac{-\left(\frac{L}{R}\omega\right)^2}{1 + j3\frac{L}{R}\omega - \left(\frac{L}{R}\omega\right)^2}. \text{ En posant } \omega_0 = \frac{R}{L} \text{ et } x = \frac{\omega}{\omega_0} : \underline{H}(x) = \frac{-x^2}{1 + 3jx - x^2}.$$

⇒ Méthodes 7.2, 7.3

4. Pour $x \gg 1$, la fonction de transfert devient $\underline{H}(x) \approx 1$ donc $G_{\text{dB}} = 0$ et $\phi = 0$ (réel positif).

Pour $x = 1$, $\underline{H}(1) = \frac{-1}{1 + 3j - 1} = \frac{j}{3}$, donc $G_{\text{dB}} = 20 \log\left(\frac{1}{3}\right) = -9,5 \text{ dB}$ et $\phi = \frac{\pi}{2}$ (imaginaire pur positif).

Pour $x \ll 1$, $\underline{H} \approx -x^2$, donc $G_{\text{dB}} = 40 \log x$ (pente de +40 dB/décade) et $\phi = \arg(-x^2) = \pi$: on choisit π car le saut de phase ne peut être que de $\frac{\pi}{2}$ avec la valeur pour $x = 1$.

● Pour un nombre réel négatif comme $-x^2$, on pourrait choisir aussi un argument de $-\pi$ au lieu de $+\pi$, les deux sont équivalents. Mais ici ce sont les autres valeurs qui nous imposent ce choix.

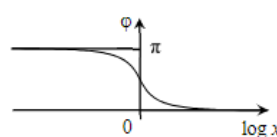
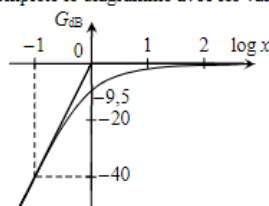
Autre rédaction : pour tout x , $G_{\text{dB}} = 20 \log \frac{x^2}{\sqrt{(1-x^2)^2 + 9x^2}} = 40 \log x - 10 \log[(1-x^2)^2 + 9x^2]$ et

$\phi = \arg \frac{-x^2}{1 + 3jx - x^2} = \arg \frac{jx}{3 + j\left(x - \frac{1}{x}\right)} = \frac{\pi}{2} - \arctan\left(x - \frac{1}{x}\right)$, d'où on peut déduire les limites et

valeurs précédentes (avec $\arctan(0) = 0$, $\arctan(+\infty) = +\frac{\pi}{2}$ et $\arctan(-\infty) = -\frac{\pi}{2}$).

On note que les asymptotes de gain se coupent pour $\log x = 0$.

On complète le diagramme avec les valeurs calculées précédemment en $x = 1$.



Le diagramme de Bode réel n'a pas de pic de résonance car le facteur de qualité du filtre vaut $Q = \frac{1}{3} < \frac{1}{\sqrt{2}}$ (voir exercice 9.9) ; de plus en $x = 1$ la courbe est nettement en dessous de la valeur maximale, il est donc impossible d'avoir un pic dans ces conditions.

5. La fréquence de coupure est $f_0 = \frac{\omega_0}{2\pi} = \frac{R}{2\pi L}$ donc $L = \frac{R}{2\pi f_0}$. AN $[L = 1,6 \text{ mH}]$ (ordre de grandeur des inductances effectivement utilisées dans les filtres ADSL).

4) Cave à vin

1 – La température est la somme d'une moyenne, d'une variation annuelle de fréquence $\nu_a = 3,2 \cdot 10^{-8} \text{ Hz}$ et d'une variation journalière $\nu_j = 1,2 \cdot 10^{-5} \text{ Hz}$:

$$T_{rmext}(t) = T_{\text{moy}} + T_a \cos(\omega_a t) + T_j \cos(\omega_j t + \varphi)$$

En utilisant le site de Météo France pour la station de Marignane, on obtient environ $T_{\text{moy}} = 15 \text{ }^{\circ}\text{C} = 298 \text{ K}$, $T_a = 18 \text{ K}$ et $T_j = 10 \text{ K}$.

2 – On calcule le gain en décibels

$$G_{\text{dB}} = 20 \log e^{-\frac{h}{\sqrt{2}D}\omega} = -\frac{20}{\ln 10} \frac{h}{\sqrt{2}D} \omega$$

On voit que le gain est une fonction linéaire de la fréquence, ce qui est inhabituel. Il s'agit d'un passe-bas.

3 – Le gain maximal est 1 pour la composante statique. On utilise la définition de la fréquence de coupure :

$$e^{-\frac{h}{\sqrt{2}D}\omega_c} = \frac{1}{\sqrt{2}} \Rightarrow \boxed{\nu_c = \frac{\ln 2 D}{2\sqrt{2}\pi h} = 2 \cdot 10^{-8} \text{ Hz}}$$

On constate que $\nu_j \gg \nu_c$, donc les fluctuations de températures journalières sont parfaitement coupées ; de même, $\nu_a \simeq \nu_c$ donc les fluctuations saisonnière seront également atténuées et finalement $T_{\text{int}} \simeq T_{\text{moy}}$: la cave à vins joue bien son rôle pour avoir une température stable.

5) Couplage AC et DC d'une entrée d'oscilloscope

1 – On écrit un pont diviseur entre C_D et l'association parallèle de C_0 et R_0 :

$$H = \frac{\frac{R_0/jC_0\omega}{R_0+1/jC_0\omega}}{\frac{R_0/jC_0\omega}{R_0+1/jC_0\omega} + 1/jC_D\omega} = \frac{\frac{R_0}{1+jR_0C_0\omega}}{\frac{R_0}{1+jR_0C_0\omega} + 1/jC_D\omega} = \frac{jR_0C_D\omega}{jR_0C_D\omega + (1 + jR_0C_0\omega)}$$

$$\boxed{H = \frac{jR_0C_D\omega}{1+jR_0(C_0+C_D)\omega}}$$

Il s'agit d'un passe-haut. On remarque (en passant) que la limite à haute fréquence est $\frac{C_D}{C_D+C_0}$, ce qui est bien la formule du pont diviseur, sachant qu'à haute fréquence la branche contenant C_0 est associée à un fil, donc celle contenant R_0 n'est pas parcourue. Dans l'approximation proposée, on obtient

$$\boxed{H \simeq \frac{jR_0C_D\omega}{1+jR_0C_D\omega}}$$

Le filtre a donc pour but d'enlever les fréquences basses. La fréquence de coupure est donc $\frac{2\pi}{R_0C_D}$; si celle-ci est de l'ordre de 1 Hz, le filtre ne coupera que la fréquence nulle, donc le continu : il s'agit bien d'**enlever la moyenne du signal**.

2 – On peut simplement mettre en entrée 1 de l'oscilloscope un signal sinusoïdal (de pulsation variable) observé en DC, et sur la voie 2 le même signal en AC. On pourra ainsi tracer le diagramme de Bode de l'entrée AC.